



PERÚ

Ministerio
de la Producción



IMARPE
INSTITUTO DEL MAR DEL PERÚ

BOLETÍN SEMANAL OCEANOGRÁFICO Y BIOLÓGICO-PESQUERO

Año 7, N°21

Semana 21: 20 - 26/05/2022

DIAGNÓSTICO

El enfriamiento anómalo en la banda ecuatorial presentó una tendencia a la declinación con persistencia de anomalías de moderadas a intensas al este de los 100°W. La máxima anomalía negativa (-3,0 °C) ocurrió al norte de Bolívar (Ecuador). El calentamiento anómalo frente al norte peruano (+2,3 °C, Punta Sal) fue similar a la semana previa y ocupó una zona amplia por fuera del sector costero ecuatoriano. La máxima anomalía positiva (+2,9 °C) ocurrió entre las localidades ecuatorianas de Bahía de Caráquez y Manta (Figura 1).

En la franja costera de los 100 km adyacentes al litoral peruano, la temperatura superficial del mar (TSM) osciló entre 25,8 °C (Caleta Cruz) y 13,9 °C (San Juan de Marcona), siendo característica la presencia de núcleos menores de 15 °C entre Pisco y Atico. Otras localidades que destacaron por sus bajas temperaturas fueron las zonas al sur de Casma (15,1 °C) y Chicama (15,4 °C). La banda de aguas menores a 20 °C mantuvo una distribución similar a la semana anterior. En los sectores oceánicos, las aguas mayores de 25 °C continuaron replegándose hacia el oeste (Figura 2 a).

El enfriamiento anómalo predominó frente a la costa peruana con anomalías de -1,7 °C (entre Chimbote y Casma), -3,2 °C (Chala) y -3,8 °C (Pimentel y Huacho); por fuera de los 100 km también ocurrió enfriamiento intenso destacando la zona frente a Punta Chérrepe (-4,0 °C) (Figura 1). De acuerdo con el producto MERCATOR, las Aguas Tropicales Superficiales (ATS) continuaron presentes hasta Talara, mientras que las Aguas Ecuatoriales Superficiales (AES) se habrían presentado en la zona oceánica entre Talara y Punta Falsa, con presencia de áreas de mezcla con las Aguas Costeras Frías (ACF) en la zona costera entre Paita y Chicama. Asimismo, las ACF predominaron de Chicama al sur, exceptuando la zona entre Casma y Chancay, alcanzando una mayor proyección hacia el oeste frente a las zonas de Paita a Chicama, Callao y San Juan de Marcona. Las Aguas Subtropicales Superficiales (ASS) presentaron una mayor aproximación a la costa entre Chimbote y Callao (Figura 2 b). La variación semanal de la TSM (Figura 3 b) indicó la tendencia al enfriamiento frente a la costa norte del Perú con presencia de núcleos de enfriamiento entre 0,5 °C y 1 °C en gran parte del mar peruano.

En la franja de ~111 km adyacente a la costa entre el ecuador geográfico y 22°S, predominaron vientos de dirección Sureste de velocidad moderada ($VV < 6,8$ m/s) a fuerte ($VV > 6,8$ m/s), con anomalías de VV en el rango neutral a positivo ($> +1,0$ m/s) desde Tumbes hasta San Juan de Marcona, mientras que de este último punto al sur ocurrieron vientos débiles en su rango habitual. La ocurrencia de vientos fuertes habría intensificado el afloramiento costero peruano (Figura 4 a). El enfriamiento anómalo se incrementó esta semana de Paita a Huarney donde las anomalías alcanzaron hasta -3,3 °C entre esta última localidad y Paramonga. Por otro lado, la evolución de las anomalías del nivel del mar (ANM) diarias con un filtro pasa banda de 10-120 días para la zona ecuatorial entre 2°N y 2°S (Figura 5 a) y para la franja de 111 km adyacente al litoral peruano (Figura 5 b) indicaron que, en el sector ecuatorial, las ANM positivas continuaron aumentando su cobertura hacia el este, especialmente al oeste de los 100°W (Figura 5 a), señalando la llegada de una onda Kelvin cálida. En la franja adyacente a la costa peruana, las ANM se incrementaron, especialmente al sur de Chicama, alcanzando valores máximos al sur de Huacho (+4,2 cm) y frente a San Juan de Marcona (+2 cm) (Figura 5 b).

El flotador ARGO localizado a 139 m.n. frente a Paita (5,08°S y 83,28°W), el día 20 de mayo registró 19,5 °C y una ATSM de -2 °C. En la columna de agua se observaron anomalías negativas entre -2 °C y -1 °C, con una concentración de sales de 34,9, valores propios de una condición fría anómala con presencia de ACF. La temperatura del mar sobre los 70 m de profundidad indicó una leve disminución del enfriamiento mientras que por debajo de los 100 m y hasta los 400 m de profundidad predominaron ligeras anomalías negativas dentro del rango neutral. Los valores termohalinos indicaron la presencia de ACF y aguas de mezcla entre las ACF y ASS sobre los 25 y 100 m de profundidad, respectivamente (Figura 6 a-c).

PERSPECTIVAS A CORTO PLAZO

Según el pronóstico del Modelo Atmosférico del Sistema de Pronóstico Global (GFS, por sus siglas en inglés) de NOAA/ NCEP (https://pae-paha.pacioos.hawaii.edu/erddap/griddap/ncep_global.html) frente y a lo largo de la zona costera peruana, dentro de los 40 km predominarían vientos moderados hasta el 31 de mayo desde Tumbes hasta San Juan de Marcona, mientras que habrían vientos débiles de San Juan de Marcona al sur. A partir del 01 de junio se registraría un notable incremento de la intensidad del viento, principalmente desde Paita hasta San Juan de Marcona.

De acuerdo con el pronóstico de Mercator Océan para el periodo del 26 de mayo al 04 de junio de 2022, se espera que aún persistan las anomalías negativas de TSM y su cobertura espacial frente a la costa peruana durante la siguiente semana. Asimismo, es posible que las aguas con TSM<19°C continúen ampliando su cobertura espacial hacia mar afuera. (http://www.imarpe.gob.pe/imarpe/index2.php?id_seccion=I0178040300000000000000)

La última simulación del modelo de ondas Kelvin ecuatoriales implementado en el IMARPE, forzado con anomalías del esfuerzo del viento ecuatorial superficial obtenidos del NCEP al 21.05.2022, indica que la onda **Kelvin fría (modo 1)**, mencionada en el BS OBP N° 17-2022, llegará al extremo del Pacífico ecuatorial oriental en junio. Asimismo, la onda **Kelvin fría (modo 2)**, mencionada en el BS OBP N° 20-2022, también arribaría al Pacífico ecuatorial oriental en junio. Las ondas **Kelvin cálidas (modo 1 y modo 2)** ya detectadas anteriormente y que han venido siendo atenuadas por las anomalías de vientos del este en el Pacífico central, podrían llegar al extremo del Pacífico ecuatorial oriental entre junio y julio (**modo 1**) y entre agosto y setiembre (**modo 2**). (http://www.imarpe.gob.pe/imarpe/index2.php?id_seccion=I0178040300000000000000)

Servicio de Información Oceanográfica del Fenómeno El Niño (SIO-FEN)
DGIOCC/DGIRP, IMARPE
Callao, 27 de mayo 2022

I. CONDICIONES DE MACROESCALA

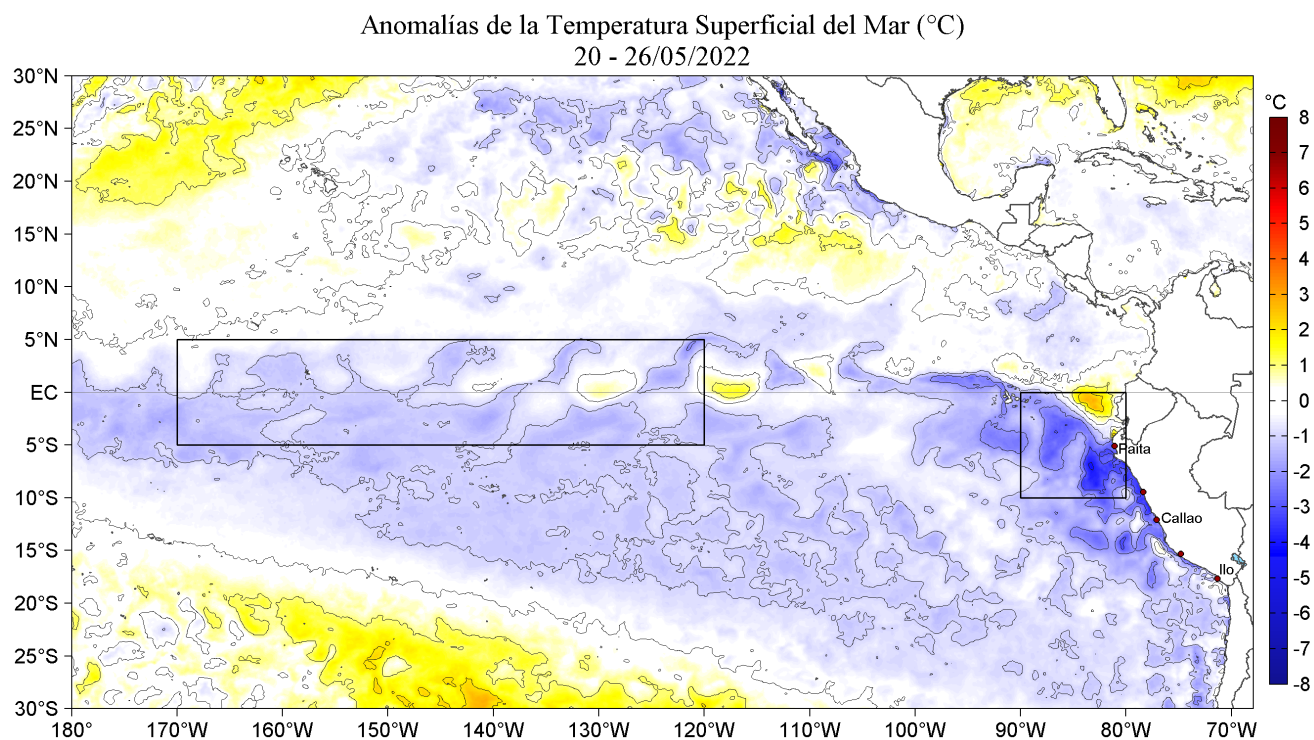


Figura 1. Anomalías promedio de la Temperatura superficial del mar (°C) en el océano Pacífico tropical para la semana del 20 al 26 de mayo de 2022. Las regiones Niño 3.4 y Niño 1+2 en los sectores central y oriental del océano, respectivamente están delimitadas con una línea de color gris. Datos: OSTIA-UKMO-L4-GLOB-v2.0 (UK Met Office, 2012; Donlon et al, 2012) disponible en <https://podaac.jpl.nasa.gov/dataset/OSTIA-UKMO-L4-GLOB-v2.0>. Las anomalías se calcularon con respecto de la climatología para el período 2007-2016.

II. CONDICIONES REGIONALES

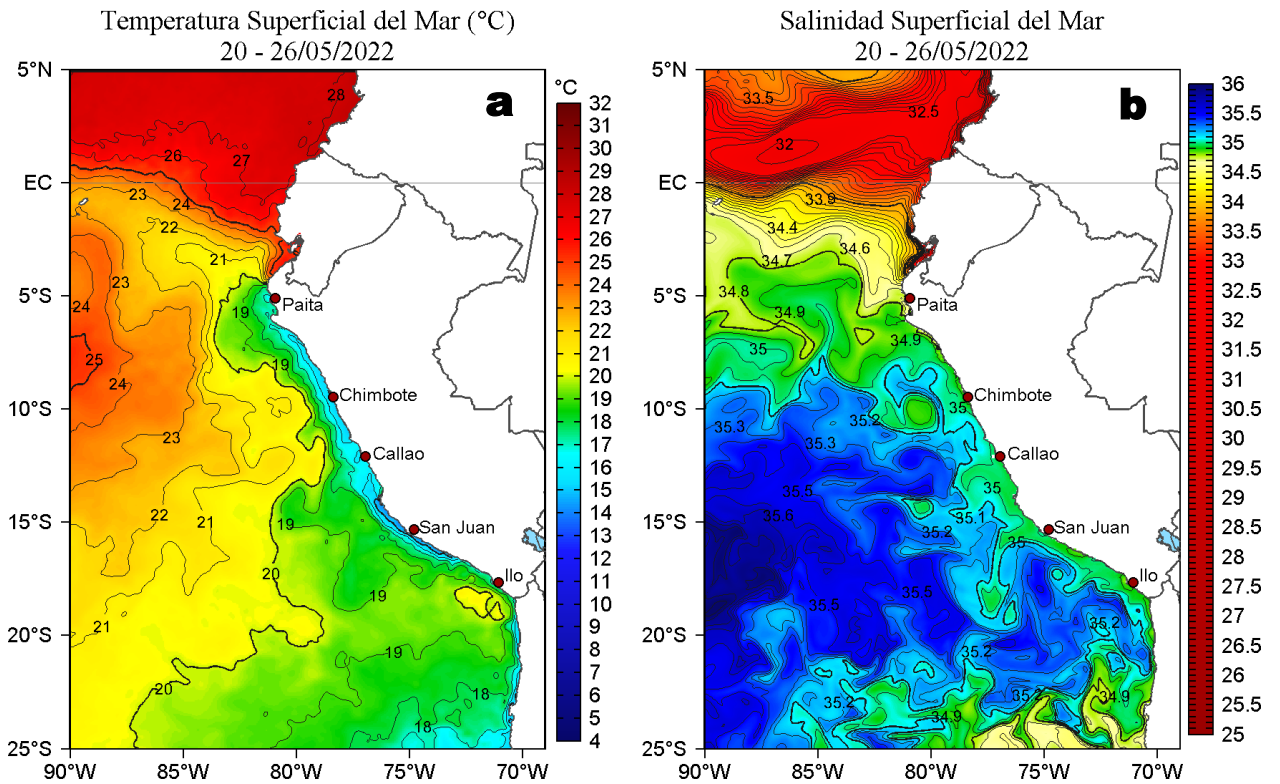


Figura 2. Distribución espacial promedio de: a) Temperatura (TSM, °C) y b) Salinidad superficial del mar (SSM) para la semana del 20 al 26 de mayo de 2022, en el océano Pacífico oriental. Datos: OSTIA-UKMO-L4-GLOB-v2.0 (UK Met Office, 2012; Donlon et al, 2012) disponible en <https://podaac.jpl.nasa.gov/dataset/OSTIA-UKMO-L4-GLOB-v2.0> para (a) y del GLOBAL ANALYSIS FORECAST PHY_001_024 (Lellouche, J. M. et al, 2013) disponible en http://marine.copernicus.eu/services-portfolio/access-to-products/?option=com_csw&view=details&product_id=GLOBAL_ANALYSIS_FORECAST_PHY_001_024 para (b). Las escalas de colores se presentan a la derecha de cada gráfico.

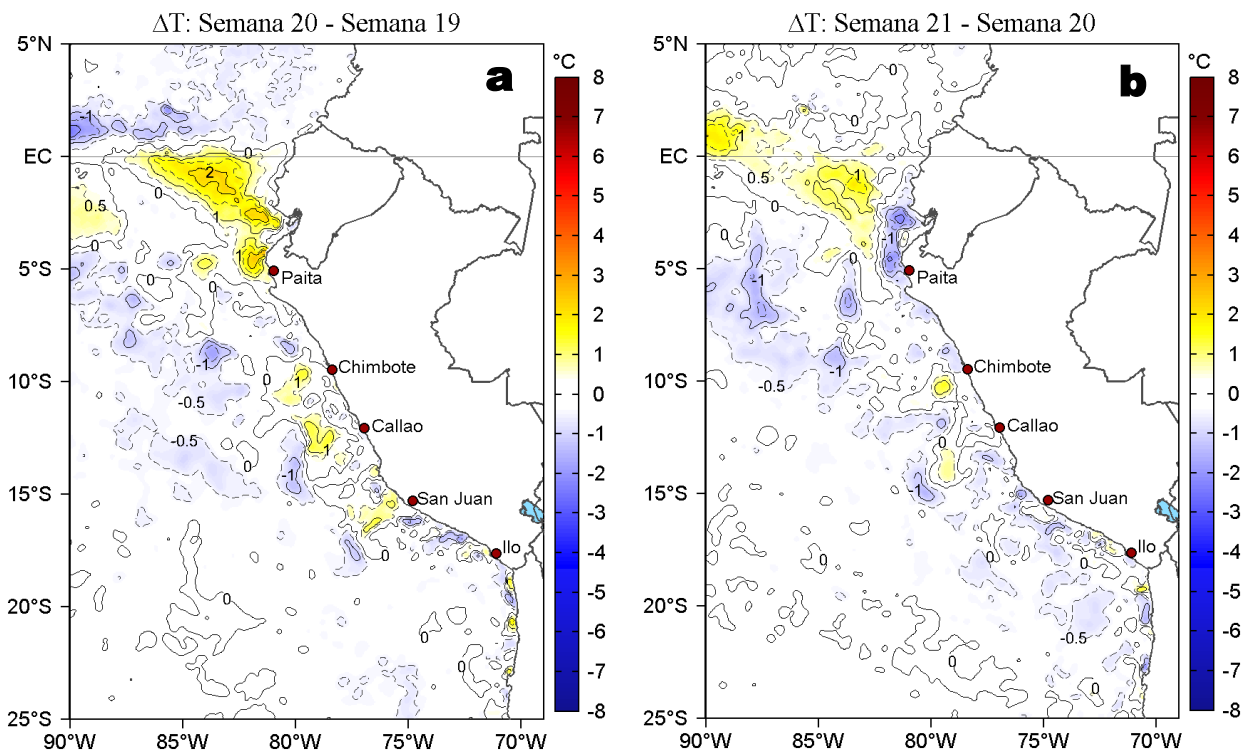


Figura 3. Variación semanal de la temperatura superficial del mar (°C) en el océano Pacífico tropical oriental entre: a) vigésima (13-19 de mayo) y décima novena (06-12 de mayo) semana de 2022 y b) vigésima primera (20-26 de mayo) y vigésima (13-19 de mayo) semana de 2022. Los mapas, que indican el grado de calentamiento o enfriamiento de una semana a otra, provienen de OSTIA-UKMO-L4-GLOB-v2.0 (UK Met Office, 2012; Donlon et al, 2012). La barra de colores a la derecha muestra la diferencia de la temperatura entre la presente y la semana previa.

III. CONDICIONES LOCALES

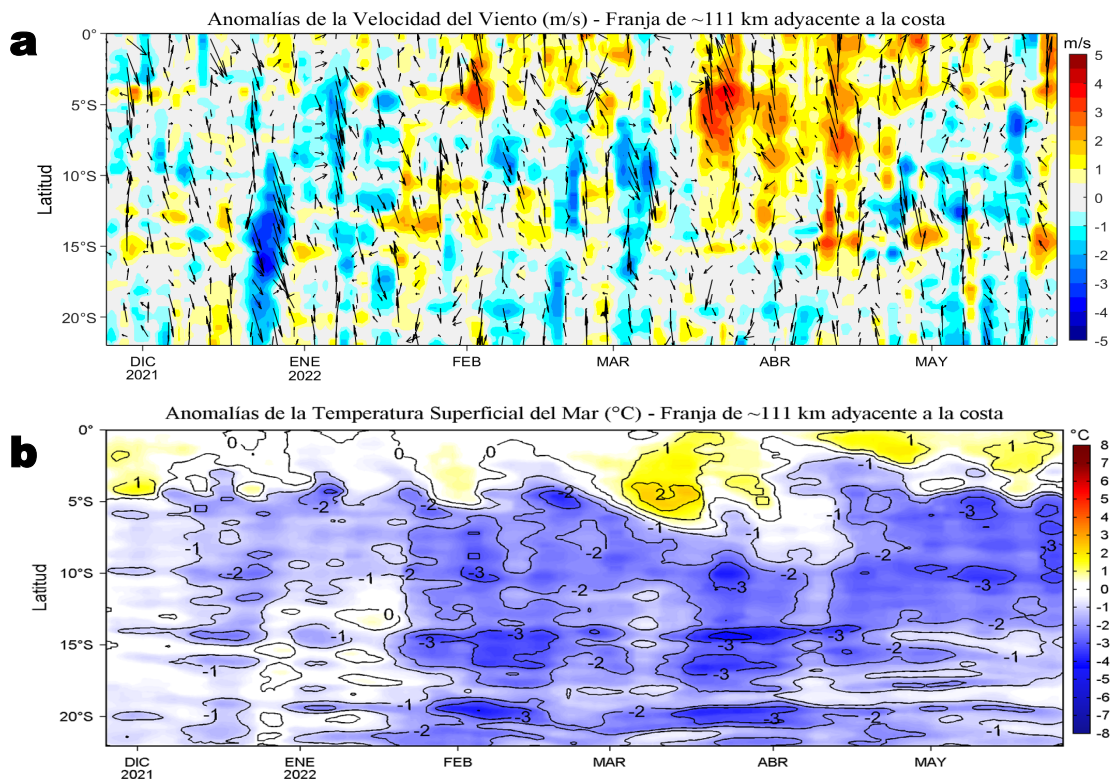


Figura 4. Evolución de las anomalías diarias de: a) Velocidad del viento (m/s) y b) Temperatura superficial del mar (°C) para el último semestre, actualizado al 25 y 26 de mayo de 2022, respectivamente. Datos: de IFREMER/CERSAT para (a) y de OSTIA-UKMO-L4-GLOB-v2.0 para (b). Las anomalías fueron calculadas para una franja de 111 km adyacente a la costa entre el ecuador geográfico y 22°S según los promedios climatológicos diarios de 2000-2014 para (a) y de 2007-2016 para (b). La barra de colores a la derecha muestra la escala de las anomalías en cada caso.

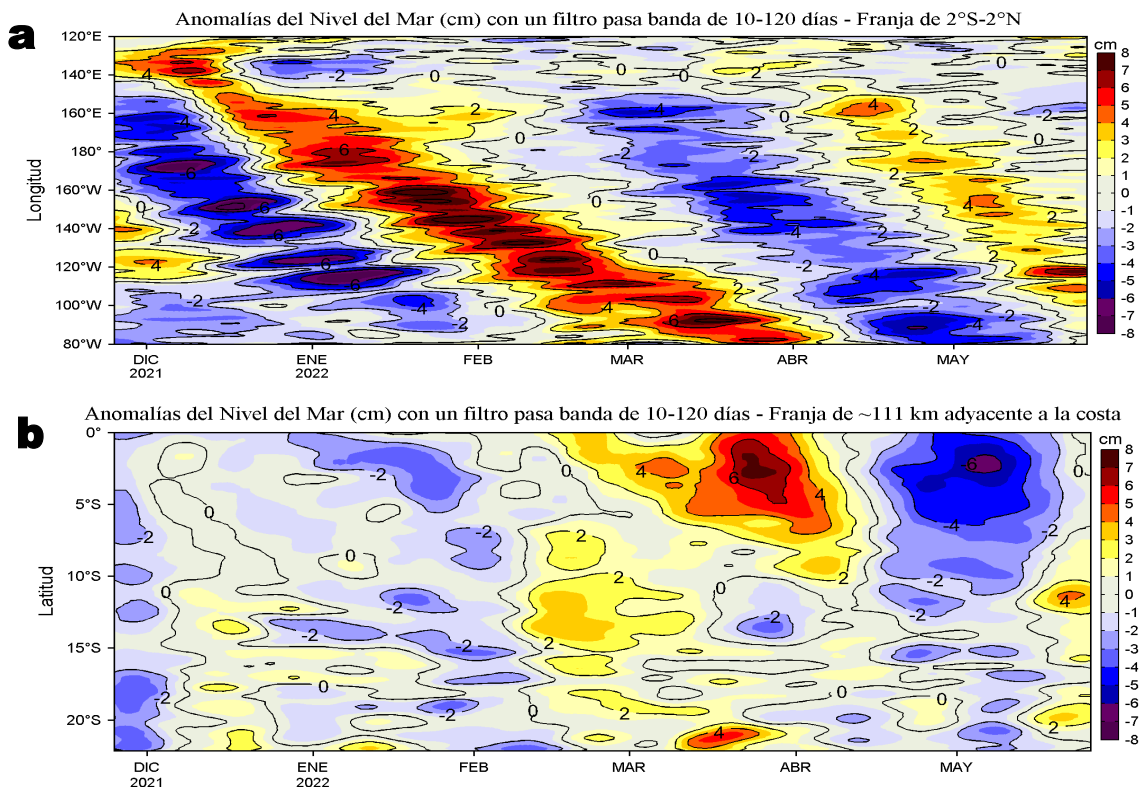


Figura 5. Evolución de las anomalías diarias del nivel del mar (cm) para a) la franja de 2°S-2°N en el Pacífico Ecuatorial y b) la franja de 111 km adyacente a la costa entre el ecuador geográfico y 22°S en el último semestre, actualizado al 26 de mayo de 2022. Los datos de anomalías de nivel del mar consideran un filtro pasa banda de 10-120 días. Datos: del Servicio de Monitoreo del Ambiente Marino Copernicus (CMEMS en inglés). Climatología: 1993-2010. La barra de colores a la derecha muestra la escala de las anomalías en cada caso.

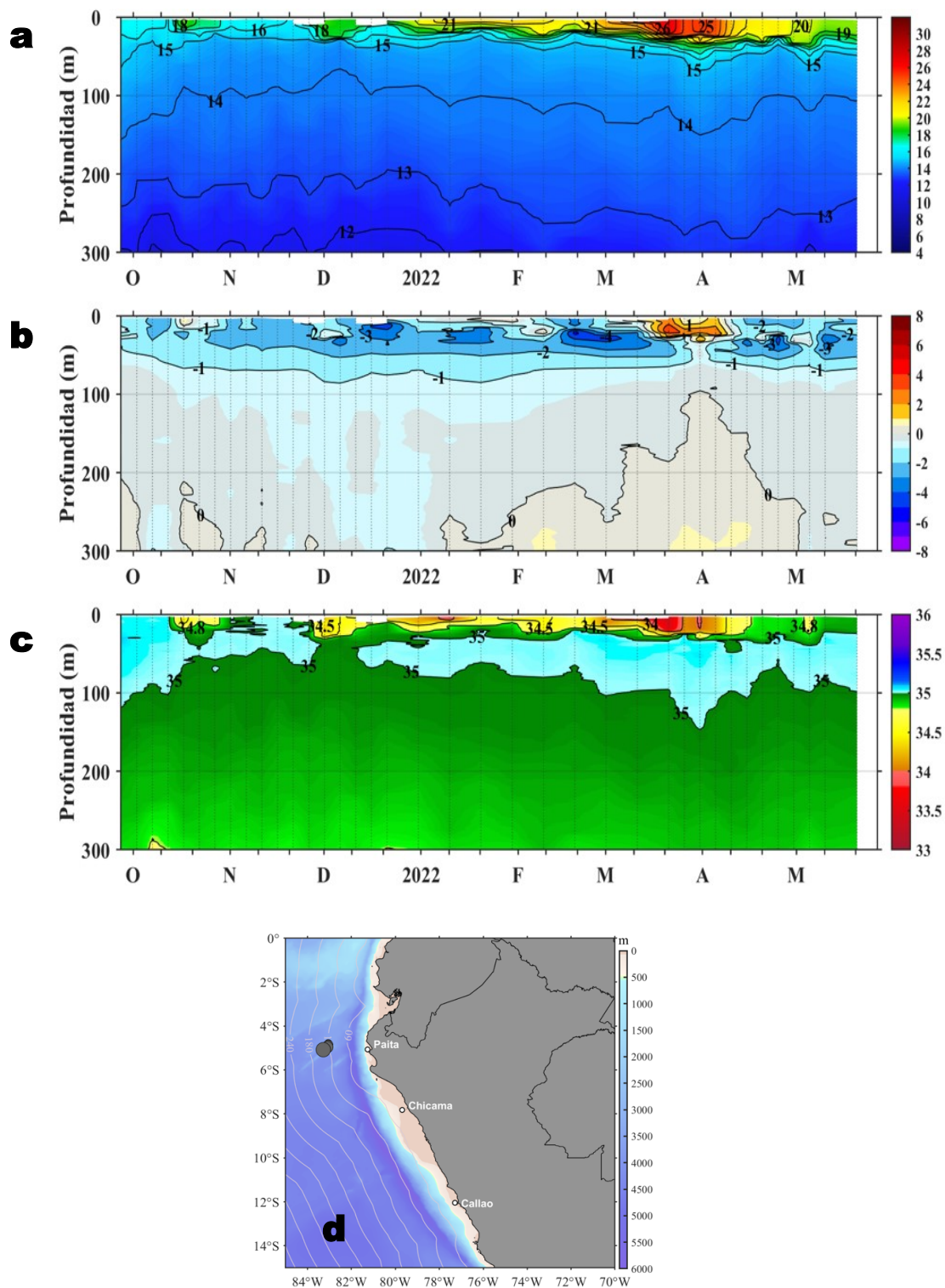


Figura 6. Diagrama Hovmöller de: a) Temperatura del mar ($^{\circ}\text{C}$), b) Anomalías térmicas ($^{\circ}\text{C}$) y c) Salinidad del mar, registradas por el perfilador ARGO No. 6903002 localizado a 139 m. n. ($5,08^{\circ}\text{S}$, $83,28^{\circ}\text{W}$) de Paita el día 20 de mayo de 2022, respectivamente. Las anomalías de la temperatura del agua se calcularon de acuerdo a Domínguez et al (2017). Los puntos en la columna de agua indican los días en que el perfilador registró información. La Figura 6 d muestra la ubicación de los perfiladores. Datos: ARGO.

IV. ÍNDICES CLIMÁTICOS Y BIOLÓGICO-PESQUERO

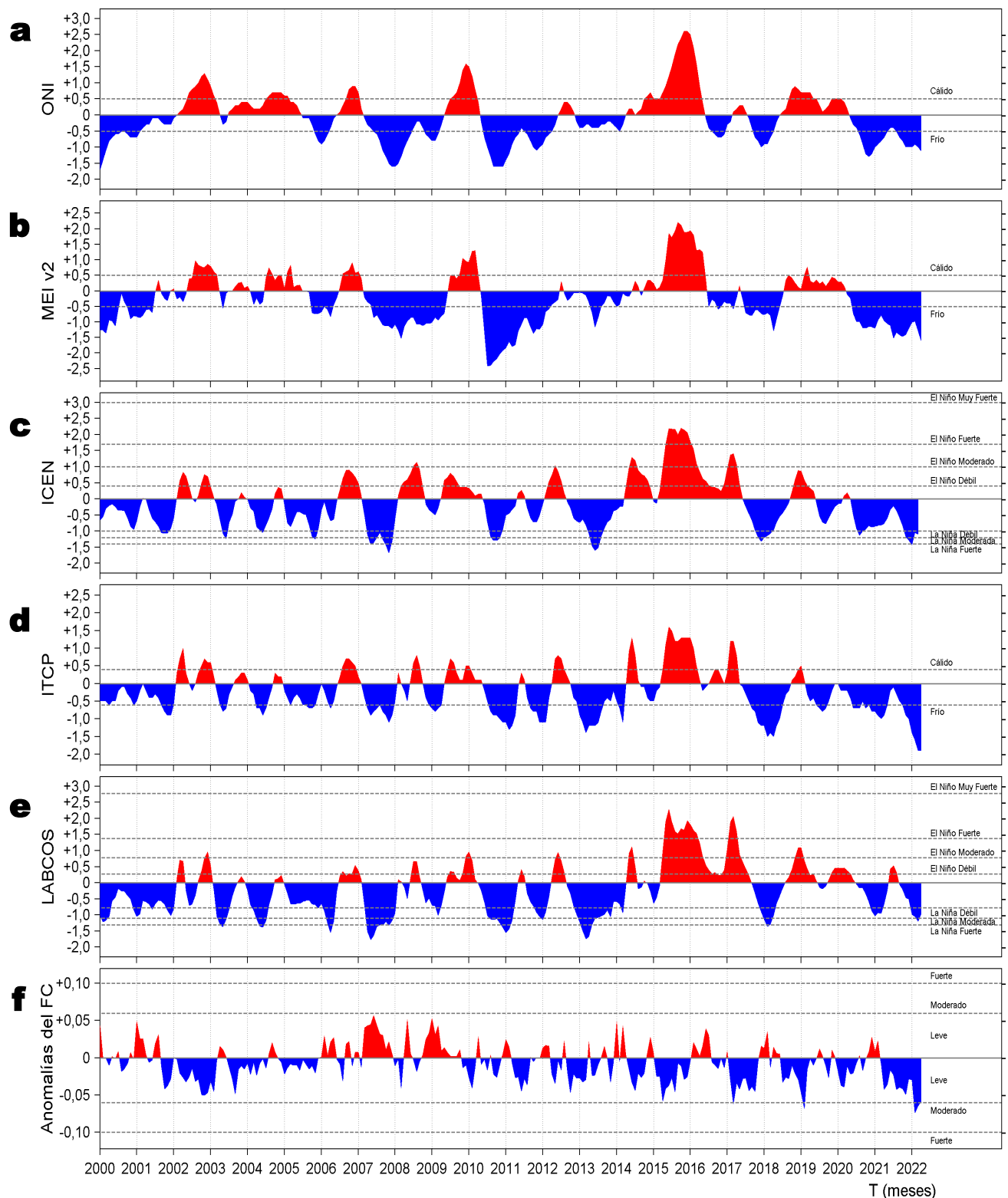


Figura 7. Series de tiempo de: a) Índice Niño Oceánico (ONI; Huang et al., 2017), b) Índice Multivariado de ENOS (MEI v2; Wolter y Timlin (1993, 1998 y 2011) y Kobayashi et al., 2015), c) Índice Costero El Niño (ICEN; Takahashi et al., 2014), d) Índice Térmico Costero Peruano (ITCP; Quispe et al., 2016), e) Índice LABCOS (Quispe y Vásquez, 2015) y f) Factor de condición de la anchoveta peruana (Fc; Perea et al., 2015) del año 2000 al 2022.

V. PERSPECTIVAS

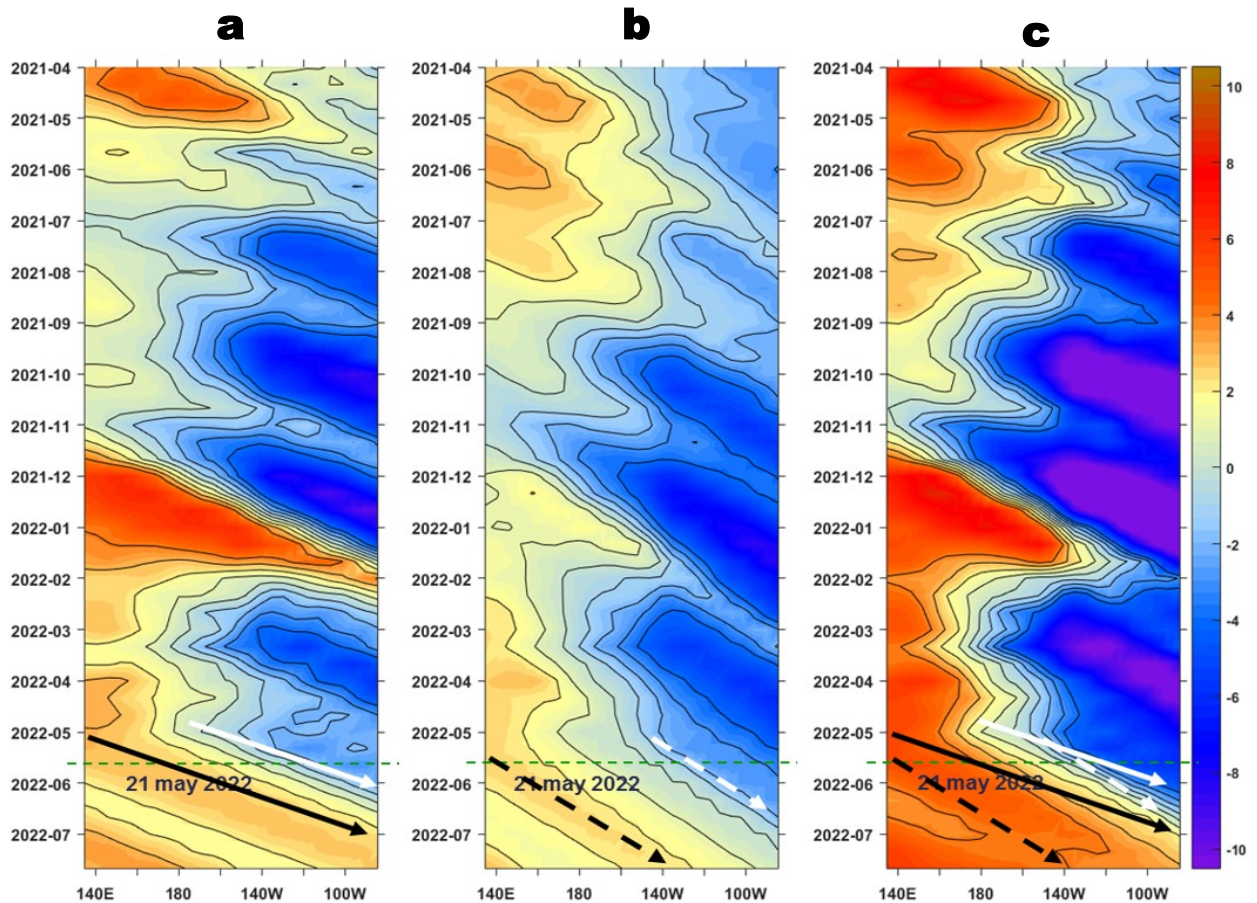


Figura 8. Diagramas Hovmöller longitudin-tiempo de las Ondas Kelvin Ecuatoriales en el Océano Pacífico Ecuatorial entre 130°E y 95°W forzado con anomalías del esfuerzo del viento (N/m²) del NCEP (Kalnay et al. 1996) de acuerdo con la metodología de Illig et al. (2004) y Dewitte et al. (2002): a) Modo 1, b) Modo 2 y c) Modos 1+2. La línea discontinua horizontal de color verde indica el inicio del pronóstico con anomalías del esfuerzo del viento igual a cero. Los valores negativos corresponden a ondas Kelvin de afloramiento “frías” (flechas blancas). Datos de modelo: Laboratorio de Modelado Oceanográfico Ecosistémico y de Cambio Climático (LMOECC).

RECONOCIMIENTOS

The Group for High Resolution Sea Surface Temperature (GHRSSST) Multi-scale Ultra-high Resolution (MUR) Level 4 OSTIA Global Foundation Sea Surface Temperature Analysis (GDS version 2). Ver. 2.0 data were obtained from the NASA EOSDIS Physical Oceanography Distributed Active Archive Center (PO.DAAC) at the Jet Propulsion Laboratory, Pasadena, CA (<http://dx.doi.org/10.5067/GHGMR-4FJ01>).

IFREMER/CERSAT. 2005. ERS-1 Level 3 Gridded Mean Wind Fields (IFREMER). Ver.1.PO.DAAC, CA, USA (<ftp://anonymous@ftp.ifremer.fr/ifremer/cersat/products/gridded/mwf-ers1>).

The Ssalto/Duacs altimeter products were produced and distributed by the Copernicus Marine and Environment Monitoring Service (CMEMS) (<http://www.marine.copernicus.eu>).

The products from the MERCATOR OCEAN system distributed through the Marine Copernicus Service. (<http://www.marine.copernicus.eu>).

Argo data (<http://doi.org/10.17882/42182>) were collected and made freely available by the International Argo Program and the national programs that contribute to it. (<http://www.argo.ucsd.edu>, <http://argo.jcommops.org>). The Argo Program is part of the Global Ocean Observing System.

The Pacific Islands Ocean Observing System (PacIOOS) is funded through the National Oceanic and Atmospheric Administration (NOAA) as a Regional Association within the U.S. Integrated Ocean Observing System (IOOS). PacIOOS is coordinated by the University of Hawaii School of Ocean and Earth Science and Technology (SOEST).

Este boletín es una acción del Programa Presupuesto Por Resultados - PPR 068 El Niño “Reducción de Vulnerabilidad y Atención de Emergencias por Desastres” y su producto “Entidades Informadas en forma permanente y con pronósticos frente al Fenómeno El Niño”.

REFERENCIAS

- Dewitte B., D. Gushchina, Y. du Penhoat and S. Lakeey, 2002: On the importance of subsurface variability for ENSO simulation and prediction with intermediate coupled models of the Tropical Pacific: A case study for the 1997-1998 El Niño. *Geoph. Res. Lett.*, vol. 29, no. 14, 1666, 10.1029/2001GL014452.
- Domínguez, N., C. Grados, L. Vásquez, D. Gutiérrez, A. Chaigneau. *Climatología termohalina frente a las costas del Perú. Periodo: 1981-2010. Volumen 44, Número 1, Enero-Marzo 2017. Inf Inst Mar Perú 44(1).*
- Donlon, C. J, M. Martin, J. Stark, J. Roberts-Jones, E. Fiedler, W. Wimmer, 2012. The Operational Sea Surface Temperature and Sea Ice Analysis (OSTIA) system. *Remote Sen. Env.*, 116, 140-158.
- Huang, B., Peter W. Thorne, et. al, 2017: Extended Reconstructed Sea Surface Temperature version 5 (ERSSTv5), Upgrades, validations, and intercomparisons. *J. Climate*, doi: 10.1175/JCLI-D-16-0836.1
- Illig, S., B. Dewitte, N. Ayoub, Y. du Penhoat, G. Reverdin, P. De Mey, F. Bonjean and G. S. E. Lagerloef, 2004: Interannual Long Equatorial Waves in the Tropical Atlantic from a High Resolution OGCM Experiment in 1981-2000, *Journal of Geophysical Research*, 109, C02022, doi:10.1029/2003jc001771.
- Kalnay, E., M. Kanamitsu, R. Kistler, W. Collins, D. Deaven, L. Gandin, M. Iredell, S. Saha, G. White, J. Woollen, Y. Zhu, A. Leetmaa, B. Reynolds, M. Chelliah, W. Ebisuzaki, W. Higgins, J. Janowiak, K. Mo, C. Ropelewski, J. Wang, R. Jenne, and D. Joseph, 1996: The NCEP/NCAR 40-Year Reanalysis Project. *Bull. Amer. Meteor. Soc.*, 77, 437-471.
- Kobayashi S, Ota Y, Harada Y, Ebata A, Moriya M, Onoda H, Onogi K, Kamahori H, Kobayashi C, Endo H, Miyaoka K, Takahashi K (2015) The JRA-55 reanalysis: general specifications and basic characteristics. *J Meteor Soc Jpn* 93:5-48.
- Lellouche, J.-M., Le Galloudec, O., Drévilion, M., Régnier, C., Greiner, E., Garric, G., Ferry, N., Desportes, C., Testut, C.-E., Bricaud, C., Bourdallé-Badie, R., Tranchant, B., Benkiran, M., Drillet, Y., Daudin, A., and De Nicola, C.: Evaluation of global monitoring and forecasting systems at Mercator Océan, *Ocean Sci.*, 9, 57-81, 2013.
- Perea, A., B. Buitrón, J. Mori, J. Sánchez, C. Roque, 2015. Anomalías de los Índices reproductivos de anchoveta *Engraulis ringens* en relación al ambiente. En: *Boletín Trimestral Oceanográfico, Volumen 1, Números 1-4, pp.: 27-28.*
- Quispe Ccallauri, C, J. Tam, H. Demarcq, C. Romero, D. Espinoza, A. Chamorro, J. Ramos, R. Oliveros, 2016. El Índice Térmico Costero Peruano. En: *Boletín Trimestral Oceanográfico, Volumen 2, Número 1, pp: 7-11.*
- Quispe, J. y L. Vásquez, 2015. Índice "LABCOS" para la caracterización de evento El Niño y La Niña frente a la costa del Perú, 1976-2015. En: *Boletín Trimestral Oceanográfico, Volumen 1, Números 1-4, pp.: 14-18.*
- Takahashi, K, K. Mosquera y J.Reupo, 2014. El Índice Costero El Niño (ICEN): historia y actualización. *Boletín Técnico - Vol. 1 Nro. 2, Febrero del 2014.*
- Wolter K. and M. S. Timlin, 1993. Monitoring ENSO in COADS with a seasonally adjusted principal component index. *Proceedings of the 17th Climate Diagnostics Workshop*, Norman, Oklahoma. NOAA/NMC/CAC-NSSL-Oklahoma Climate Survey-CIMMS-School of Meteorology of the University of Oklahoma, pp. 52-57.
- Wolter K. and M. S. Timlin, 1998. Measuring the strength of ENSO events - how does 1997/98 rank? *Weather* **53**, 315-324.
- Wolter K. and M. S. Timlin, 2011. El Niño/Southern Oscillation behavior since 1871 as diagnosed in an extended multivariate ENSO index (MEI. ext). *Int. J. Climatol.* **31**, 1074-1087.

El Boletín Semanal Oceanográfico y Biológico-Pesquero (BS OBP) presenta la evolución de variables físicas en la superficie del océano y atmósfera, así como de la estructura físico-química del océano frente a Paita -lugar referente del mar peruano para la vigilancia climática asociada a El Niño-Oscilación del Sur- con el fin de comprender los efectos de la variabilidad de corto plazo en las condiciones oceanográficas del mar peruano. Esta información se sustenta en las redes observacionales in situ que administra el IMARPE y que se ha fortalecido en el marco del Programa Presupuesto Por Resultados - PPR 068 El Niño "Reducción de Vulnerabilidad y Atención de Emergencias por Desastres" y su producto "Entidades Informadas en forma permanente y con pronósticos frente al Fenómeno El Niño".

El BS OBP y otros productos oceanográficos pretenden informar de forma oportuna y permanente sobre el estado del océano a diferentes grupos de interés y sociedad en general, contribuyendo a mejorar el conocimiento del mar peruano y coadyuvar a la gestión del riesgo de desastres del Estado Peruano.

Finalmente, se informa que el monitoreo oceanográfico rutinario frente a Paita aún no se ha restablecido por lo que la información subsuperficial considera la información de perfiladores ARGO seleccionados actualmente disponibles frente a la costa norte-centro del Perú. Se recomienda cautela en el uso de la información de la Figura 6 debido a la naturaleza móvil de estos equipos oceanográficos.

Servicio de Información Oceanográfica del Fenómeno El Niño/SIO FEN
Laboratorio de Hidrofísica Marina/LHFM
Dirección General de Investigaciones en Oceanografía y Cambio Climático/DGIOCC
Instituto del Mar del Perú



El contenido del Boletín se puede reproducir citándolo así: Boletín Semanal Oceanográfico y Biológico-Pesquero [en línea]. Callao, Instituto del Mar del Perú. Año 7, N° 21, 27 de mayo de 2022. [http://www.imarpe.pe/imarpe/index.php?id_seccion=101780204000000000000000](http://www.imarpe.pe/imarpe/index.php?id_seccion=1017802040000000000000).

© 2022 Instituto del Mar del Perú.
Esquina Gamarra y General Valle, Chucuito, Callao - Perú.

Consultas: Servicios y Productos Oceanográficos
Laboratorio de Hidrofísica Marina/AFIOFCC/DGIOCC/IMARPE.
Correo electrónico: lhfm_productos@imarpe.gob.pe;
lhfm.productos@gmail.com.
Teléfono: (51 1) 208 8650 (Extensión 824).

Suscripciones: Complete [este formulario](#).